

تعیین مشخصه تفاضلی در الگوریتم‌های رمز قطعه‌ای با شبکه هاپفیلد و ماشین بولتزمن

عباس قائمی بافقی^۱، بابک صادقیان^{۲*}، رضا صفابخش^۳

۱- دانشجوی دکتری، دانشکده مهندسی کامپیوتر، دانشگاه صنعتی امیرکبیر

۲- دانشیار دانشکده مهندسی کامپیوتر، دانشگاه صنعتی امیرکبیر

۳- استاد دانشکده مهندسی کامپیوتر، دانشگاه صنعتی امیرکبیر

* تهران، صندوق پستی ۴۴۱۳-۱۵۸۷۵

Basadegh@ce.aut.ac.ir

چکیده- در این مقاله نشان می‌دهیم که چگونه با به کارگیری شبکه‌های عصبی می‌توان مشخصه تفاضلی مناسبی برای الگوریتم‌های رمز قطعه‌ای یافت. به این منظور عملکرد تفاضلی الگوریتم رمز قطعه‌ای مورد بررسی با یک گراف وزن‌دار جهتدار نمایش داده می‌شود. با این نمایش، یافتن بهترین مشخصه تفاضلی، معادل با یافتن کم‌وزن‌ترین مسیر چند-شعبه بین دو گره آغازی و پایانی در گراف حاصل است. در این مقاله، ابتدا شبکه هاپفیلد برای یافتن بهترین مسیر چند-شعبه در گراف نمایش عملکرد تفاضلی الگوریتم رمز قطعه‌ای سرپنت به کار رفته است. با این شیوه، افزایش تعداد دور مشخصه، باعث افزایش احتمال رسیدن به بهینه‌های محلی در هنگام بهینه‌سازی می‌شود. سپس به منظور کاهش این مشکل از شیوه‌های آموزش احتمالی و ایده تابکاری شبیه‌سازی شده، استفاده شده و با به کارگیری ماشین بولتزمن، کارایی بیشتری به دست آمده است. روند بهینه‌سازی برای یافتن یک مشخصه ۵ و ۶ دوری از الگوریتم رمز سرپنت، ۱۰۰ بار تکرار شده است. در این آزمایشها، جواب مطلوب با به کارگیری شبکه هاپفیلد، به ترتیب ۱۰۰، ۲۰ و ۱ بار و با به کارگیری ماشین بولتزمن، به ترتیب ۹۹ و ۳۰ بار به دست آمده است. نتایج بررسیهای انجام شده بیانگر تاثیر مثبت آموزش احتمالی در روند بهینه‌سازی توسط شبکه عصبی است. مقایسه احتمال‌های مشخصه‌های به دست آمده با شیوه پیشنهادی در این مقاله با احتمال‌های هشت مشخصه گزارش شده در مقالات دیگر نشان می‌دهد که در شش مورد، نتایج ارائه شده در این مقاله بهتر از نتایج گزارش شده در سایر مقالات است و در دو مورد، احتمال‌های مشخصه‌های تفاضلی به دست آمده برابر با احتمال مشخصه‌های نظری در سایر مقالات است. همچنین یک مشخصه تفاضلی برای الگوریتم رمز سرپنت ۷ دوری با استفاده از ماشین بولتزمن به دست آمده که احتمال 2^{-125} دارد. این مشخصه، با صرفنظر کردن از مشخصه‌های بومرنگ گزارش شده از این الگوریتم رمز، اولین مشخصه تفاضلی برای بیش از ۶ دور از آن است. این مقایسه نشان دهنده کارایی و کارآمدی شبکه‌های عصبی برای یافتن مشخصه تفاضلی مناسب است، به طوری که کارایی در هاپفیلد بیشتر از ماشین بولتزمن است و کارآمدی در ماشین بولتزمن بیشتر است.

کلید واژگان: تحلیل تفاضلی، ساختار جانشینی-جایگشتی، رمز قطعه‌ای سرپنت، شبکه هاپفیلد، ماشین بولتزمن.

تفاضلی به کار برد یا خیر؟ میزان کارایی و کارامدی آنها چقدر است؟ برای این منظور، روند بهینه‌سازی توسط هر یک از دو شیوه 100 مرتبه برای هریک از موارد مورد بررسی، تکرار شده و بهترین جواب انتخاب شد. در ادامه عملکرد دو شبکه را از نظر کارایی و کارامدی مقایسه کردیم. کارایی را با توجه به زمان لازم برای حصول نتیجه مطلوب در هر شیوه تعریف می‌کنیم و "یک شیوه بهینه‌سازی را کاراتر می‌گوییم اگر در زمان کمتری نتیجه مطلوب آزمایش را به دست دهد". بهیان دیگر، کارایی با توجه به پیچیدگی اجرا تعیین شده و شیوه‌ای را کاراتر می‌گوییم که پیچیدگی اجرای کمتری دارد. کارامدی را براساس نتیجه بخشی هر شیوه تعریف می‌کنیم و "یک شیوه بهینه‌سازی را برای حل یک مسئله کارامدتر می‌گوییم که در تعداد موارد بیشتری، جواب مطلوب را به دست دهد".

در بخش ۲، الگوریتم رمز قطعه‌ای سرپنت، به عنوان یک نمونه الگوریتم رمز قطعه‌ای و بستری برای نشان دادن چگونگی به کارگیری شبکه‌های عصبی هاپفیلد و ماشین بولتزمن برای یافتن بهترین مشخصه تفاضلی، به طور اجمالی معرفی می‌شود. در بخش ۳، مدل بازنمایی عملکرد تفاضلی الگوریتم رمز قطعه‌ای و نحوه به کارگیری شبکه‌های عصبی در تعیین مسیر چند-شعبه مناسب در گراف نمایش عملکرد تفاضلی الگوریتم رمز تشریح می‌شود. در بخش‌های ۴ و ۵ مشخصه‌های تفاضلی به دست آمده برای الگوریتم رمز سرپنت با به کارگیری شبکه هاپفیلد و ماشین بولتزمن بیان می‌شود. در بخش ۶، با توجه به نتایج به دست آمده، کارایی به کارگیری شبکه هاپفیلد و ماشین بولتزمن با یکدیگر مقایسه و پیشنهادهایی برای ادامه پژوهش مطرح می‌شود.

۲- معرفی سرپنت

سرپنت یک شبکه جانشینی-جایگشتی با اندازه قطعه ورودی/خروجی 128×128 بیت و اندازه کلید از 256 تا 128 تا 256

۱- مقدمه

تحلیل تفاضلی در سال 1990 توسط بیهام و شامیر ابداع شد [۳]. این روش تحلیل در دو مرحله طراحی حمله و اجرای حمله انجام می‌شود. در مرحله طراحی حمله، تحلیلگر با به کارگیری ویژگیها و نقاط ضعف الگوریتم رمز، به دنبال یافتن یک مشخصه تفاضلی با احتمال بالا است. در مرحله اجرای حمله، تحلیلگر باید به اندازه کافی زوج متن رمزشده با تفاضل به دست آمده در مرحله طراحی را جمع‌آوری کرده و توسط آنها بیت‌های کلید مؤثر در مشخصه را با انجام یک شیوه شمارش به دست آورد.

در [۱] برای یافتن مشخصه مناسب برای طراحی حمله مبتنی بر تحلیل تفاضلی، مدل بازنمایی عملکرد تفاضلی الگوریتم رمز قطعه‌ای ارائه شد. در این مدل هریک از اجزای الگوریتم رمز توسط یک گراف جهتدار وزندار نشان داده می‌شود. از ترکیب گرافهای متناظر با هر یک از اجزای یک الگوریتم رمز قطعه‌ای، یک گراف جهتدار وزندار به دست می‌آید. در نتیجه، برای یافتن مشخصه تفاضلی k دوری، یک گراف $2k$ سطحی به دست آمده و مسئله یافتن بهترین مشخصه برای این الگوریتم رمز، معادل با یافتن مسیری چند-شعبه از گره آغازی به گره پایانی در این گراف است، به طوری که جمع مسیرهای آن کمترین مقدار ممکن باشد. در [۵، ۴، ۱] شیوه بهینه‌سازی اجتماعی مورچگان برای یافتن بهترین مسیر چند-شعبه در گراف نمایش عملکرد تفاضلی الگوریتم رمز قطعه‌ای به کار رفته شده است.

در این مقاله، قابلیت به کارگیری شبکه‌های عصبی هاپفیلد و ماشین بولتزمن برای یافتن بهترین مسیر چند-شعبه در گراف نمایش عملکرد تفاضلی الگوریتم رمز قطعه‌ای بررسی و چگونگی به کارگیری آنها مطرح می‌شود. بهیان دیگر به دنبال پاسخگویی به این سوالات هستیم که آیا شبکه‌های عصبی را می‌توان برای یافتن بهترین مسیر چند-شعبه در گراف نمایش عملکرد

۳- بیان مسئله در قالب شبکه عصبی

در [۱] برای یافتن مشخصه تفاضلی مناسب به منظور طراحی حمله مبتنی بر تحلیل تفاضلی، مدل بازنمایی عملکرد تفاضلی الگوریتم‌های رمز قطعه‌ای ارائه شد. در این مدل هریک از اجزای الگوریتم رمز توسط یک گراف جهتدار وزن‌دار نمایش داده می‌شود. از ترکیب گرافهای متناظر با هر یک از اجزای الگوریتم رمز قطعه‌ای، یک گراف جهتدار وزن‌دار به دست می‌آید. درنتیجه، برای یافتن مشخصه تفاضلی k دوری، یک گراف $2k$ سطحی به دست آمده و مسئله یافتن بهترین مشخصه برای این الگوریتم رمز، معادل با یافتن یک مسیر چند-شعبه از گره آغازی به گره پایانی در این گراف است؛ به طوری که جمع مسیرهای آن کمترین مقدار ممکن باشد. در [۵، ۴، ۱] شیوه بهینه‌سازی اجتماع مورچگان برای یافتن بهترین مسیر چند-شعبه در گراف نمایش عملکرد تفاضلی الگوریتم رمز قطعه‌ای به کار رفت.

بهینه‌سازی با شبکه‌های عصبی برای حل مسائل متعدد و متنوعی از جمله جایگذاری قطعات در طراحی VLSI [۸، ۷]، n وزیر [۹]، خوشه بندی [۱۰-۱۲]، برش و بسته‌بندی [۱۳-۱۵]، افزایش گراف [۱۶]، رنگ آمیزی گراف [۱۶-۱۹]، مسیریابی ترافیک شبکه [۲۰]، یافتن کوتاه‌ترین مسیر [۲۱-۲۶] و فروشنده دوره‌گرد [۲۷-۳۱] به کار رفته است.

در این مقاله یک شبکه عصبی بازگشتی برای یافتن بهترین مسیر چند-شعبه در گراف نمایش عملکرد تفاضلی الگوریتم رمز قطعه‌ای معرفی شده و شبکه‌های عصبی هاپفیلد و ماشین بولتزمن برای یافتن بهترین مسیر چند-شعبه در این گراف به کار می‌رود. برای این منظور، شبکه عصبی معادل با هر تابع جانشینی - که براساس آن شبکه عصبی معادل هر تعداد دور از الگوریتم رمز قابل بیان است - تعریف شده است. در این شبکه عصبی طول هر مسیر در گراف نمایش عملکرد تفاضلی الگوریتم رمز قطعه‌ای، توسط تابع هزینه مشخص می‌شود. بنابراین برای

بیت است [۶]. ساختار رمز بخش‌های جایگشت اولیه، ۳۲ بار تکرار تابع دور و جایگشت نهایی را دارد. در این الگوریتم از هشت تابع جانشینی با ورودی و خروجی ۴ بیتی، که مطابق جدول ۱ با S_7 تا S_1 مشخص می‌شوند، استفاده شده است. در تابع دور Λ_m ، $\{0, \dots, 31\}^n$ فقط از تکرار یک تابع جانشینی مشخص استفاده می‌شود که شماره آن (j) بر طبق رابطه (۱) تعیین می‌شود:

$$(1) \quad j = i \bmod 8, \quad i \in \{0, \dots, 31\}$$

جدول ۱ توابع جانشینی به کار رفته در الگوریتم رمز سرپنت

	F	E	D	C	B	A	9	8	7	6	5	4	۳	۲	۱	۰	تابع جانشینی	وارودی	شماره
C	۹	۰	۷	۲	۴	D	E	B	۵	۶	A	۱	F	۸	۳	.	.	.	
۴	۳	D	۶	۸	E	B	۱	A	۵	۰	۹	۷	۲	C	F	۱			
۲	۵	B	۰	۴	E	۱	D	F	A	C	۳	۹	۷	۶	۸	۲			
E	۵	۷	A	۴	۲	۱	D	۳	۶	۹	C	۸	B	F	۰	۳			
D	۷	E	۹	A	۴	۵	۲	۶	B	۰	C	۳	۸	F	۱	۴			
۱	۷	D	۸	E	۳	۰	C	۹	A	۴	B	۲	۵	F		۵			
۰	A	۳	D	F	۱	۹	E	B	۶	۴	۸	۵	C	۲	۷	۶			
۶	۵	۳	۹	A	C	۴	۷	B	۲	۸	E	۰	F	D	۱	۷			

در تابع دور Λ_m ، $\{0, \dots, 31\}^n$ ، ابتدا ورودی \hat{B}^m با کلید \hat{K}^n تحت عمل XOR ترکیب شده و سپس ۳۲ تابع جانشینی مشابه به طور موازی به آن اعمال می‌شود. به عنوان مثال در تابع دور اول فقط از ۳۲ بار تکرار موازی S_7 استفاده می‌شود. آنگاه بردار میانی با استفاده از تبدیل خطی تغییر یافته و \hat{B}^1 را تولید می‌کند. به طور مشابه تابع دور دوم نیز ۳۲ نسخه موازی S_1 روی $(\hat{B}^1 \oplus \hat{K}^1)$ اعمال شده و بردار میانی حاصل، با اعمال تبدیل خطی بر روی خروجی \hat{B}^2 تبدیل می‌شود. دور آخر اندکی با بقیه تفاوت دارد، به طوری که ابتدا S_7 بر روی $(\hat{B}^{۲۱} \oplus \hat{K}^{۲۱})$ اعمال شده و سپس به جای اعمال تبدیل خطی بر بردار میانی حاصل، آن تحت عمل XOR با $\hat{K}^{۳۲}$ ترکیب و $\hat{B}^{۳۲}$ را تولید می‌کند.

در این مدل، در نمودار جریان داده الگوریتم رمز به جای هر یک از اجزای آن، گراف های معادل آنها را فرار می دهیم. درنتیجه الگوریتم رمز به یک گراف جهتدار وزندار چند سطحی تبدیل خواهد شد.

ملاحظه می شود که به کارگیری این مدل برای یافتن مشخصه k دوری در هر الگوریتم رمز قطعه ای با ساختار جانشینی - جایگشتی یک گراف 2^{k+3} سطحی خواهیم داشت. برای مثال بازنمایی عملکرد تفاضلی الگوریتم رمز قطعه ای سرپنت سه دوری مطابق شکل ۲ خواهد بود. دراین شکل پیکان های پرنگ، بیانگر تبدیل خطی است که نوعی نگاشت ثابت است.

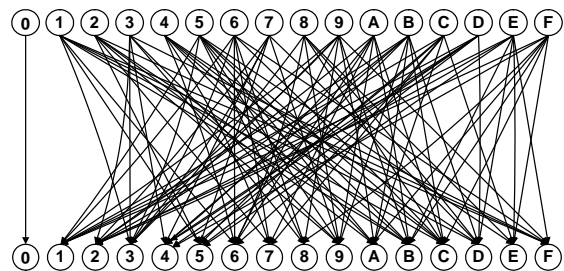
فرض کنید M و N به ترتیب گره های آغازی و پایانی در گراف نمایش عملکرد تفاضلی الگوریتم رمز قطعه ای باشد. متناظر با هر یال خروجی گره M می توان مسیرهای مختلفی را از گره M تا گره N درنظر گرفت. اگر $\text{path}_i(M,N)$ یک مسیر دلخواه از گره M به گره N و شامل یال خروجی آن گره M باشد، مجموعه $\left\{ \text{path}_i(M,N) \mid 1 \leq i \leq \text{Outdegree}_M \right\}$ را یک مسیر چند- شعبه از گره M به گره N تعریف می کنیم. وزن هر مسیر چند- شعبه را برابر با وزن تمام مسیرهای آن درنظر می گیریم. هر مسیر چند- شعبه در این گراف، معادل با یک مشخصه تفاضلی از الگوریتم رمز بوده و مسیر چند- شعبه با حداقل وزن، معادل با مشخصه تفاضلی با حداقل احتمال است. بنابراین یافتن بهترین مشخصه برای الگوریتم رمز، معادل با یافتن مسیری چند- شعبه با حداقل وزن از گره آغاز تا گره پایان در گراف نمایش عملکرد تفاضلی آن است.

۲-۳- شبکه عصبی بازگشتی معادل با توابع جانشینی
هر تابع جانشینی $S: \{0,1\}^m \rightarrow \{0,1\}^n$ توسط یک شبکه بازگشتی حاوی $n+m$ نورون با مقدار دودویی معادل سازی می شود، که m نورون اول آن متناظر بیت های

یافتن مسیر چند- شعبه مناسب در گراف مربوط، لازم است تابع هزینه در شبکه عصبی معادل آن حداقل شود. در ادامه این بخش ابتدا مدل بازنمایی عملکرد تفاضلی الگوریتم رمز قطعه ای را به اختصار معرفی و سپس شبکه عصبی معادل توابع جانشینی و نحوه ارائه شبکه عصبی معادل با هر تعداد دور از الگوریتم رمز را مطرح می کنیم.

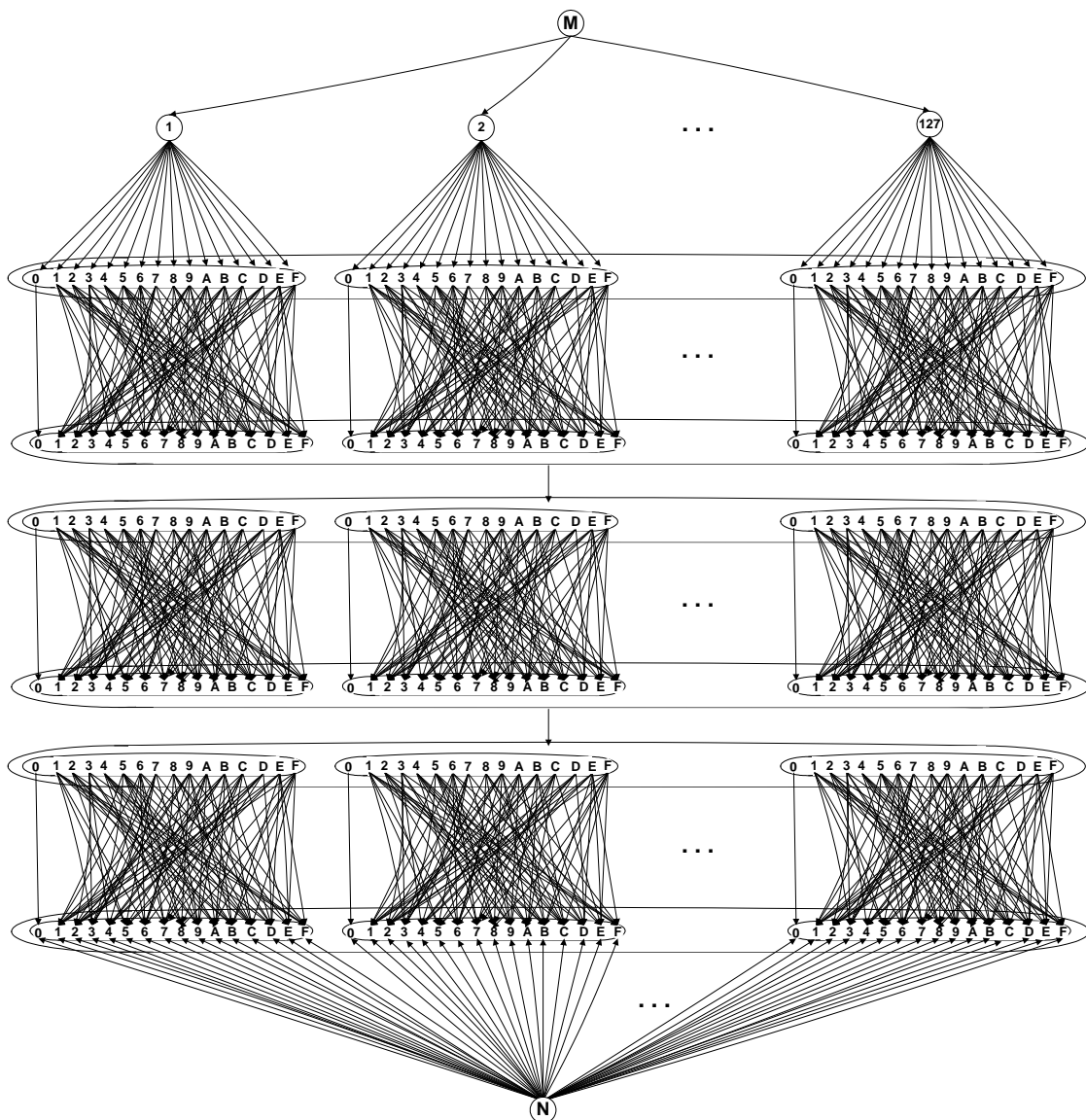
۳-۱-۳- مدل بازنمایی عملکرد تفاضلی رمز قطعه ای

معرفی کامل این مدل در [۱] آمده است. در این مدل توزیع تفاضلات ورودی/خروجی در هر تابع جانشینی $G(V,E,W)$ توسط یک گراف جهتدار وزندار دویخشی با $2^m + 2^n$ گره بیان می شود، که m و n به ترتیب اندازه ورودی و خروجی تابع جانشینی است. 2^m گره به عنوان گره های آغازی که با اندیس های دودویی $0 \dots 2^m - 1$ نامگذاری می شود و 2^n گره به عنوان گره های پایانی که با اندیس های دودویی $0 \dots 2^n - 1$ نامگذاری می شود. یال های این گراف بر اساس جدول توزیع تفاضلات تعیین می شود و وزن هر یال برابر منهای لگاریتم مقدار متناظر با آن در جدول توزیع تفاضلات در مبنای ۲ است. به بیان دیگر اگر مقدار متناظر با یال (X,Y) در جدول توزیع تفاضلات برابر p باشد، وزن این یال $W_{X,Y} = -\text{Log}_2(p)$ خواهد بود. برای مثال نمایش عملکرد تفاضلی تابع جانشینی $S\text{box}_3$ در الگوریتم رمز سرپنت به صورت شکل ۱ است، که در آن وزن یال ها نشان داده نشده است.



شکل ۱ نمایش عملکرد تفاضلی $S\text{box}_3$ در الگوریتم رمز

سرپنت



شکل ۲ بازنمایی عملکرد تفاضلی الگوریتم رمز قطعه‌ای سرینت سه دوری

اگر نوروون‌های I_j و O_k ، $0 \leq k \leq n-1$ و $0 \leq j \leq m-1$ باشند، تابع هزینه را به ترتیب دارای مقادیر \hat{z}_j و \hat{o}_k باشند، تابع هزینه را به صورت رابطه (۲) تعریف می‌کنیم. که در این رابطه، تابع D بیانگر توزیع تفاضلات ورودی/خروجی در تابع جانشینی S بوده و هر زوج تفاضل ورودی/خروجی $\{0,1\}^m \times \{0,1\}^n$ را به احتمال $R_{S, D}(X, Y)$ در تابع جانشینی S با فرض تفاضل ورودی X می‌نگارد. بنابراین تابع هزینه

تفاضل ورودی تابع جانشینی است و با I_i $0 \leq i \leq m-1$ ، نشان داده می‌شود، و n نوروون بعدی متناظر بیت‌های تفاضل خروجی تابع جانشینی می‌باشد و با O_i ، که $0 \leq i \leq n-1$ ، نشان داده می‌شود. با توجه به مؤثر بودن هر بیت تفاضل ورودی S در بیت‌های خروجی آن و نیز مؤثر بودن هر بیت تفاضل خروجی S در بیت‌های تفاضل ورودی آن، در این شبکه خروجی هر نوروون به ورودی تمامی نوروون‌های دیگر متصل است.

نورونی مربوط به ورودی/خروجی توابع جانشینی در یک مرحله باشد.

به بیان دقیق‌تر، گروه \mathbb{P} ($0 \leq p \leq 2k-1$) را با بردار

$$\underline{N}_p = (N_{p \times n+n-1}, N_{p \times n+n-2}, N_{p \times n+n-3}, \dots, N_{p \times n+1}, N_{p \times n}) \in \{0,1\}^n$$

نشان می‌دهیم که در آن N_ℓ بیانگر نورون ℓ است.

اگر p زوج باشد، بردار \underline{N}_p نورون‌های متناظر ورودی تابع جانشینی دور r است، که $r = p/2$ و اگر p فرد باشد، بردار \underline{N}_p نورون‌های متناظر خروجی تابع جانشینی دور r است، که $r = \lfloor p/2 \rfloor$.

برای مثال، شبکه عصبی لازم برای یافتن مشخصه تفاضلی k دوری در الگوریتم رمز قطعه‌ای سرپنت 256^k نورون داشته و تابع هزینه آن به شکل رابطه (۵) است، که در آن، \wedge $q = r \bmod k$ است و تابع هزینه $Cost_{S_q}$ مطابق رابطه (۴) تعریف شده است.

شبکه، معادل با تابع جانشینی S برای مقادیر دلخواه نورونها مطابق رابطه (۳) و به صورت زیر خواهد بود.

$$Cost_S : \{0,1\}^m \times \{0,1\}^n \rightarrow R$$

برای مثال، تابع جانشینی S_q ($0 \leq q \leq 7$) به کار رفته در الگوریتم رمز سرپنت، یک تابع جانشینی 4×4 است، که تابع هزینه آن مطابق رابطه (۴) تعریف می‌شود.

۳-۳-۳- شبکه عصبی معادل تعداد دور دلخواه از رمز جانشینی-جایگشتی

با به کارگیری این مدل برای یافتن مشخصه k دوری در الگوریتم رمز قطعه‌ای با ساختار جانشینی-جایگشتی و اندازه ورودی/خروجی n بیت، شبکه عصبی بازگشتی تک‌لایه با $2 \times k \times n$ نورون خواهیم داشت. برای سهولت در بیان توابع هزینه در شبکه حاصل، نورون‌ها را به صورت گروه‌هایی n تایی در نظر می‌گیریم به طوری که هر گروه n

$$Cost_{IS}(o_{n-1}, o_{n-2}, \dots, o_1, o_0, i_{m-1}, i_{m-2}, \dots, i_1, i_0) \\ = -\log_2 \left(DD_S(i_{m-1} \times 2^{m-1} + i_{m-2} \times 2^{m-2} + \dots + i_1 \times 2 + i_0, o_{n-1} \times 2^{n-1} + o_{n-2} \times 2^{n-2} + \dots + o_1 \times 2 + o_0) \right)$$

$$Cost_S(o_{n-1}, o_{n-2}, \dots, o_1, o_0, i_{m-1}, i_{m-2}, \dots, i_1, i_0) = \\ \sum_{o_{n-1}=0}^1 \sum_{o_{n-2}=0}^1 \dots \sum_{o_1=0}^1 \sum_{o_0=0}^1 i_{m-1} \sum_{i_{m-2}=0}^1 \dots \sum_{i_1=0}^1 \sum_{i_0=0}^1 \left(\prod_{j=0}^{m-1} (1 - i_j + (2 \times i_j - 1) \times I_j) \times \right. \\ \left. \prod_{k=0}^{n-1} (1 - o_k + (2 \times o_k - 1) \times O_k) \times Cost_{IS}(o_{n-1}, o_{n-2}, \dots, o_1, o_0, i_{m-1}, i_{m-2}, \dots, i_1, i_0) \right) \quad (3)$$

$$Cost_{S_q}(O_3, O_2, O_1, O_0, I_3, I_2, I_1, I_0) = \sum_{o_3=0}^1 \sum_{o_2=0}^1 \sum_{o_1=0}^1 \sum_{o_0=0}^1 i_3 \sum_{i_2=0}^1 i_1 \sum_{i_0=0}^1 \left(\prod_{j=0}^{m-1} (1 - i_j + (2 \times i_j - 1) \times I_j) \right) \quad (4) \\ \times \prod_{k=0}^3 (1 - o_k + (2 \times o_k - 1) \times O_k) \times Cost_{S_q}(o_3, o_2, o_1, o_0, i_3, i_2, i_1, i_0)$$

: که

$$Cost_{S_q}(o_3, o_2, o_1, o_0, i_3, i_2, i_1, i_0) = -\log_2 \left(DD_{S_q}(i_3 \times 2^3 + i_2 \times 2^2 + i_1 \times 2 + i_0), (o_3 \times 2^3 + o_2 \times 2^2 + o_1 \times 2 + o_0) \right)$$

$$Cost(Serpent, k) \quad (5)$$

$$= \sum_{r=0}^{k-1} \sum_{j=0}^{31} Cost_{S_q} \left(N_{2r \times n + 4j+3}, N_{2r \times n + 4j+2}, N_{2r \times n + 4j+1}, N_{2r \times n + 4j}, N_{(2r+1) \times n + 4j+3}, N_{(2r+1) \times n + 4j+2}, N_{(2r+1) \times n + 4j+1}, N_{(2r+1) \times n + 4j} \right)$$

۶. بررسی شرط توقف و تکرار از گام ۲ در صورت عدم برقراری آن. شرط توقف، عدم تغییر مقدار نورون‌ها در یک تعداد تکرار متولی از روند بهینه‌سازی است، که این تعداد به عنوان پارامتر کنترلی بهینه‌سازی عمل می‌کند و اگر عدد بزرگتری در نظر گرفته شود، جواب بهتری حاصل خواهد شد.

۴-۲- مشخصه‌های تفاضلی به دست آمده برای الگوریتم رمز سرپنت

الگوریتم بهینه‌سازی تشریح شده در بخش قبل به منظور یافتن مشخصه‌های ۴، ۵ و ۶ دوری از الگوریتم رمز سرپنت به کار برده شده برای یافتن بهترین جواب، الگوریتم بهینه‌سازی ۱۰۰ مرتبه برای هریک از موارد مورد بررسی تکرار و بهترین جواب انتخاب شد. مقدار تفاضل ورودی دور میانی، بر اساس تحلیل‌های تفاضلی منتشر شده از این الگوریتم رمز در [۴۴-۴۲] تعیین شده است، تا مشخصه‌های تفاضلی حاصل از روش پیشنهادی در این مقاله را از نظر احتمال آنها، بتوان با نتایج منتشر شده در مقالات دیگر مقایسه کرد.

سه مشخصه ۴ دوری در [۴۴-۴۲] ارائه شده است. مشخصه‌های ارائه شده در مقالات [۴۳، ۴۲] مربوط به دورهای اول تا چهارم بوده و به ترتیب Sbox چهارم و Sbox دوم در دور سوم آنها فعال در نظر گرفته شده است. مشخصه ارائه شده در [۴۴] مربوط به دور ششم تا نهم است، که Sbox ششم از دور هشتم در آن فعال است. مقدار ورودی تابع جانشینی فعال در هر سه مشخصه فوق مقدار ۴ بوده و احتمال این سه مشخصه در مقالات مذکور به ترتیب $^{2-29}$ ، $^{3-31}$ و $^{2-34}$ گزارش شده است. مشخصه‌های به دست آمده با به کارگیری شبکه هاپفیلد، برای دورهای ذکر شده در فوق و با همان شماره و ورودی Sbox فعال در دور میانی (مشابه موارد بالا)، در جداول ۲، ۳ و ۴ آورده شده است. این سه مشخصه به ترتیب دارای احتمال $^{2-29}$ ، $^{2-29}$ و $^{2-32}$ هستند.

۴- بهینه‌سازی با شبکه هاپفیلد

شبکه هاپفیلد یک شبکه عصبی انجمانی است که در سال ۱۹۸۲ ابداع شده است [۳۲]. در سال ۱۹۸۵، هاپفیلد و تانک این شبکه را توسعه داده و برای حل مسائل بهینه‌سازی به کار برداشتند [۳۳]. در این شبکه، نورون‌ها در رفتاری متقابل با یکدیگر در نوعی همبندی بازگشته تابع هزینه را حداقل می‌کنند. شبکه هاپفیلد برای حل مسائل متنوع بهینه‌سازی از جمله در [۷، ۸، ۱۰، ۱۴، ۱۵، ۱۷، ۱۹، ۲۲، ۲۴، ۲۸، ۲۹، ۴۱-۳۴] به کار برده شده است. در این بخش این شبکه برای تعیین بهترین مشخصه تفاضلی به کار رفته است، که برای این منظور تابع هزینه تعریف شده در بخش قبل حداقل می‌شود.

۴-۱- الگوریتم آموزش شبکه هاپفیلد

برای یافتن جواب بهینه تابع هزینه بالا، از بهینه‌سازی با شبکه هاپفیلد طبق الگوریتم زیر استفاده شد.

۱. مقداردهی اولیه نورون‌ها: مقدار نورون‌های متناظر با تفاضل دور میانی توسط تحلیلگر تعیین و مقدار سایر نورون‌ها با توجه به حالات ممکن در گراف نمایش عملکرد تفاضلی الگوریتم رمز سرپنت، به‌طور دلخواه^۱ مشخص می‌شود.

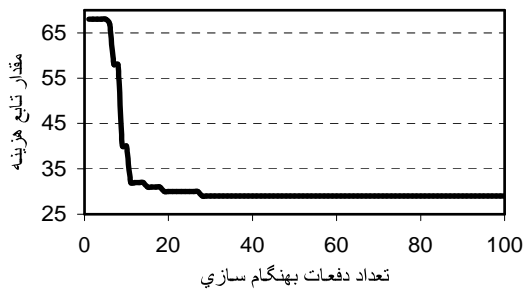
۲. انتخاب یک نورون به‌طور دلخواه و تغییر مقدار آن.

۳. تنظیم سایر نورون‌ها براساس تغییر جدید: این تنظیم با توجه به رابطه تبدیل خطی بین نورون‌های متناظر با خروجی توابع جانشینی در یک دور و نورون‌های متناظر با ورودی توابع جانشینی در دور بعد انجام می‌شود.

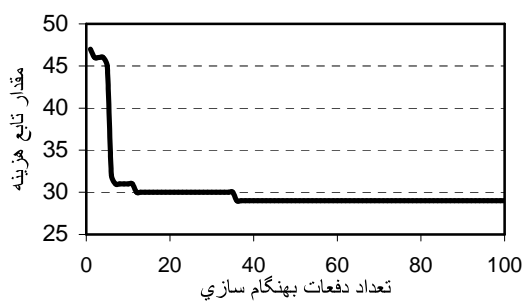
۴. محاسبه مقدار تابع هزینه با توجه به تغییر انجام شده.

۵. پذیرش وضعیت جدید، در صورتی که مقدار تابع هزینه در وضعیت جدید کمتر از تابع هزینه در وضعیت قبلی باشد.

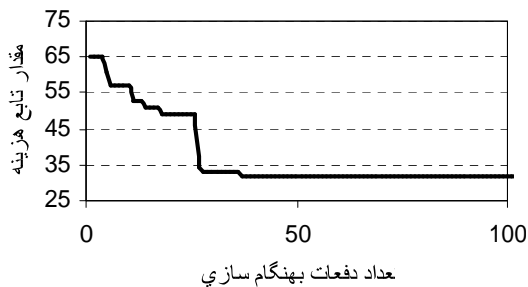
بهینه‌سازی، جواب مطلوب به دست آمده و در هیچ یک از تک ارها، در بهینه محلم، حا نمانده است.



شکل ۳ تغییرات مقدار تابع هزینه در روند بهینه‌سازی در مشخصه تفاضلی جدول ۲ تا رسیدن به همگرایی



شکل ۴ تغییرات مقدار تابع هزینه در روند بهینه‌سازی در مشخصه تفاضلی جدول ۳ تا رسیدن به همگرایی



شکل ۵ تغییرات مقدار تابع هزینه در روند بهینه‌سازی در مشخصه تفاضلی جدول ۴ تا رسیدن به همگرایی

چهار مشخصه ۵ دوری در [۴۲-۴۴] ارائه شده است. مشخصه ارائه شده در [۴۲] و یک مشخصه در [۴۴] مربوط به دور پنجم تا نهم بوده و Sbox ششم از دور هشتم در آنها فعال در نظر گرفته شده است. احتمال این دو مشخصه

جدول ۲ مشخصه تفاضلی چهار دوری از رمز سرپینت به دست آمده با هایپلید (تابع جانشینی چهارم از دور سوم فعل است)

جدول ۳ مشخصه تفاضلی چهار دوری از رمز سرینت به دست آمده با هایپلید (تابع جانشینی دوم از دور سوم فعل است)

شماره دور	تفاصل ورودی/خروجی توابع جانشینی در مشخصه یک دوری	احتمال
۱	ورودی D000000000000CA008009000000000000	۲-۱۱
۱	خروجی 200000000000001A00E004000000000000	
۲	ورودی 0000000000000000000000000000000040050000	۲-۵
۲	خروجی 00000000000000000000000000000000A0040000	
۳	ورودی 00400	۲-۳
۳	خروجی 00A00	
۴	ورودی 020004000000000000000000000000001000081000	۲-۱۰
۴	خروجی 06000300000000000000000000000000E0000C7000	
	احتمال کل مشخصه	۲-۲۹

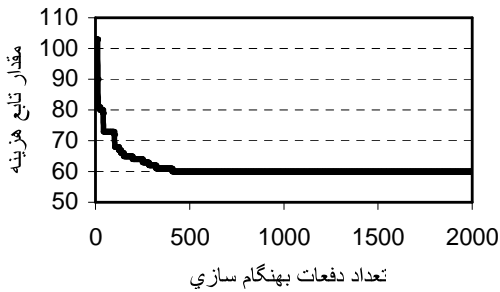
جدول ۴ مشخصه تفاضلی چهار دوری از رمز سرینت به دست آمده با هایفلد (تابع جانشینی ششم از دور هشتم فعال است)

شماره دور	تفاصل ورودی/خروجی توابع جانشینی در مشخصه یک دوری	احتمال
۶	ورودی ۰4007000000006006000D0060000000	۲-۱۲
	خروجی ۰A002000000001001000A0040000000	
۷	ورودی ۰000000000000000000000000000000001005	۲-۵
	خروجی ۰00000000000000000000000000000000A004	
۸	ورودی ۰00000400000000000000000000000000000000	۲-۲
	خروجی ۰00000A00000000000000000000000000000000	
۹	ورودی ۱00002000400000000000000000000000100008	۲-۱۳
	خروجی F0000C0006000000000000000000000050000F	
	احتمال کل مشخصه	۲-۳۳

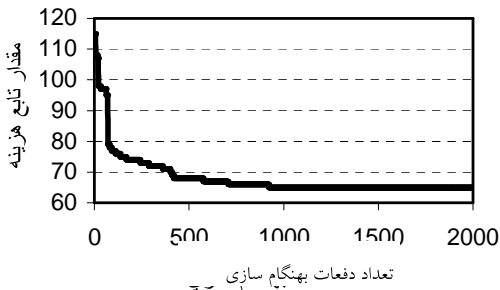
روند تغییرات مقدار تابع هزینه تا رسیدن به همگرایی در هر یک از این سه مشخصه، به ترتیب در شکل‌های ۴، ۳ و ۵ آورده شده است.

در هر یک از این سه مورد، در تمامی ۱۰۰ بار تکرار

این دو مشخصه به ترتیب دارای احتمال 2^{-6} و 2^{-5} می باشند. روند تغییرات مقدار تابع هزینه تا رسیدن به همگرایی در هر یک از موارد فوق به ترتیب در شکل های 6 و 7 آمده است. در دو مورد فوق، از میان 100 بار تکرار بهینه سازی به ترتیب 20 و 18 مرتبه جواب مطلوب بدست آمده و در بقیه دفعات تکرار، روند بهینه سازی در بهینه محلی افتاده است.



شکل ۶ تغییرات مقدار تابع هزینه در روند بهینه‌سازی در مشخصه تفضیلی جدول ۵ تا رسیدن به همگرایی



شکل ۷ تغییرات مقدار تابع هزینه در روند بهینه‌سازی در مشخصه تقاضایی جدول ۶ تا رسیدن به همگرایی

مشخصه ۶ دوری ارائه شده در [۴۴] مربوط به دور اول تا ششم است که Sbox پانزدهم از دور چهارم در آن فعال بوده و مقدار ورودی ۴ برای آن در نظر گرفته شده است. احتمال این مشخصه برابر 2^{-9^7} است. مشخصه به دست آمده با شبکه های فیلد مطابق جدول ۷ است، که احتمال 2^{-9^4} دارد. روند تغییرات تابع هزینه تا رسیدن به همگرایی در مشخصه فوق در شکل ۸ آورده شده است. از میان ۱۰۰ تکرار بهینه سازی برای یافتن مشخصه فوق، فقط یک بار جواب مطلوب به دست آمده و در سایر دفعات، روند بهینه سازی در بهینه محلی گیر افتاده است.

در [۴۴،۴۲] به ترتیب 2^{-60} و 2^{-61} گزارش شده است. مشخصه ارائه شده در [۴۳] و یک مشخصه در [۴۴] مربوط به دور اول تا پنجم بوده و Sbox دوم از دور سوم در آنها فعال در نظر گرفته شده است. احتمال این دو مشخصه در [۴۴،۴۳] به ترتیب 2^{-80} و 2^{-67} گزارش شده است. مقدار ورودی تابع جانشینی فعال در همه مشخصه‌های فوق برابر ۴ بوده است. مشخصه‌های به دست آمده با شبکه هاپفیلد در این مقاله، برای دورهای ذکر شده در فوق و با همان شماره و ورودی Sbox فعال در دور میانی (مشابه موارد بالا)، به ترتیب در جداول ۵ و ۶ آورده شده است.

جدول ۵ مشخصه تفاضلی دوره‌ای پنجم تا نهم از الگوریتم رمز سرینت به دست آمده با شبکه هابنیلاد

شماره دور	نفاذ ورودی و خروجی توابع جانشینی در مشخصه یک دور	احتمال
۵	ورودی ۰0000A0400900000F00F00500C901B7	۲-۲۶
	خروجی ۰000030B00500000C00400200450618	
۶	ورودی ۰400E000000000C00C0001009000000	۲-۱۴
	خروجی ۰A002000000001001000A004000000	
۷	ورودی ۰00000000000000000000000000000001005	۲-۵
	خروجی ۰0000000000000000000000000000000A004	
۸	ورودی ۰000004000000000000000000000000000000	۲-۲
	خروجی ۰00000A000000000000000000000000000000	
۹	ورودی ۱0000200040000000000000000000000100008	۲-۱۳
	خروجی F0000C0006000000000000000000000050000F	
	احتمال کل مشخصه	۲-۶۰

جدول ٦ مشخصه تفاضلی دورهای اول تا پنجم از الگوریتم

دوری، فقط یک جواب بهینه به دست می آید، که برای حصول آن بیش از ۲۰۰۰ بار بهنگام سازی شبکه عصبی لازم است.

جدول ۸ کارایی و کارامدی شبکه هاپفیلد در تعیین مشخصه های تفاضلی در الگوریتم رمز سرپنت

شماره دور	تفاضل ورودی و خروجی تابع جانشینی در مشخصه یک دوری	احتمال
۱	ورودی 0C800900A0DD0D00DE040000000000E خروجی 01e00400402220400280600000000008	۲-۲۴
۲	ورودی 0400B000460A0005000000000000400A0 خروجی 0a004000a204000800000000000a0040	۲-۲۱
۳	ورودی 00000400A000000000000000000000000 خروجی 00000a00400000000000000000000000	۲-۶
۴	ورودی 00000000000000004000000000000000 خروجی 00000000000000003000000000000000	۲-۲
۵	ورودی 02000000010000200400000000001100 خروجی 0A000000030000A00500000000006A00	۲-۱۷
۶	ورودی 60070000200400000101008060052015 خروجی 10020000F00F00000E0E00B01003F0E3	۲-۲۴
	احتمال کل مشخصه	۲-۹۴

جدول ۷ مشخصه تفاضلی شش دوری از الگوریتم رمز

سرپنت به دست آمده با شبکه هاپفیلد

شماره دور	تفاضل ورودی و خروجی تابع جانشینی در مشخصه یک دوری	احتمال
۱	ورودی 0C800900A0DD0D00DE040000000000E خروجی 01e00400402220400280600000000008	۲-۲۴
۲	ورودی 0400B000460A0005000000000000400A0 خروجی 0a004000a204000800000000000a0040	۲-۲۱
۳	ورودی 00000400A000000000000000000000000 خروجی 00000a00400000000000000000000000	۲-۶
۴	ورودی 00000000000000004000000000000000 خروجی 00000000000000003000000000000000	۲-۲
۵	ورودی 02000000010000200400000000001100 خروجی 0A000000030000A00500000000006A00	۲-۱۷
۶	ورودی 60070000200400000101008060052015 خروجی 10020000F00F00000E0E00B01003F0E3	۲-۲۴
	احتمال کل مشخصه	۲-۹۴

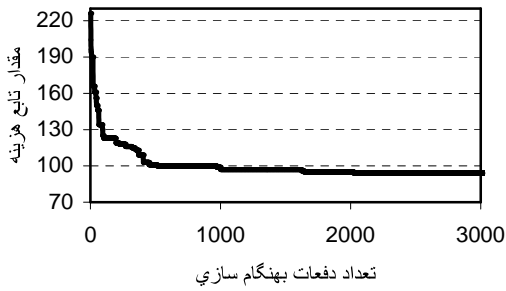
۵- بهینه سازی با ماشین بولتزمن

برای رفع مشکل شبکه هاپفیلد و فرار از بهینه های محلی راه حل های متعددی ارائه شده که به دو دسته کلی راه حل های قطعی^۱ و اتفاقی^۲ تقسیم می شوند. چند راه حل اتفاقی در ماشین بولتزمن^۳ [۴۵, ۲۱]، شبکه های آشوبی^۴ [۴۷, ۴۶] و ماشین گاووس^۵ [۴۸] دیده می شود. در این بخش از ماشین بولتزمن استفاده شده که در آن از ایده تابکاری شبیه سازی شده^۶ در آموزش شبکه هاپفیلد استفاده می شود. این شبکه برای حل مسائل متنوع بهینه سازی از جمله [۱۱-۴۹, ۵۲] به کار برده شده است.

۱- الگوریتم آموزش ماشین بولتزمن

برای یافتن جواب بهینه برای تابع هزینه فوق از بهینه سازی با ماشین بولتزمن بر طبق الگوریتم زیر استفاده شد:

$$T = T_0 \quad 1. \text{ مقداردهی اولیه دمای بهینه سازی}$$

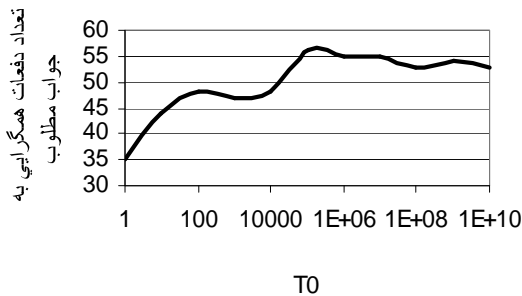


شکل ۸ تغییرات مقدار تابع هزینه در روند بهینه سازی در مشخصه تفاضلی جدول ۷ تا رسیدن به همگرایی

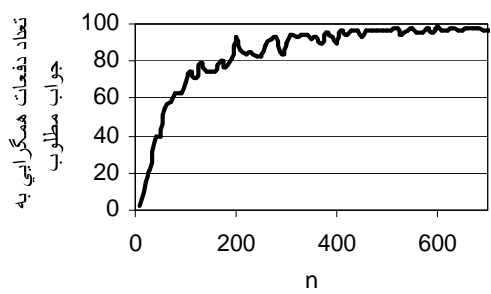
جدول ۸ میزان کارایی یعنی کمترین تعداد تکرار بهنگام سازی شبکه هاپفیلد تا رسیدن به همگرایی در هر یک از موارد بررسی شده و نیز میزان کارامدی یعنی تعداد دفعات همگرا شدن به جواب مطلوب از میان ۱۰۰ تکرار روند بهینه سازی در هر مورد را نشان می دهد. چنانچه ملاحظه می شود، کارایی و کارامدی شبکه در یافتن مشخصه های ۴ دوری الگوریتم رمز سرپنت بسیار بالا است، به طوری که با کمتر از ۴۰ بار بهنگام سازی، شبکه جواب بهینه به دست می آید و از طرفی در هیچ یک از ۱۰۰ تکرار، روند بهینه سازی در بهینه محلی محلی جا نمانده است. اما با افزایش تعداد دور مشخصه، کارایی و کارامدی شبکه هاپفیلد کاهش می یابد، به طوری که در تعیین مشخصه ۶

1- Deterministic
2- Stochastic
3- Boltzmann Machine
4- Cauchy
5- Gaussian Machine
6- Simulated Annealing

انتخابی برای پارامترها، روند بهینه‌سازی یک‌صد بار برای یافتن مشخصه ۵ دوری تکرار شده و تعداد دفعاتی که جواب مطلوب به دست آمده، شمارش شده است. نمودار تأثیر تغییر هریک از پارامترها، براساس نتایج حاصل از بررسیهای انجام شده، در شکل‌های ۹ تا ۱۲ آورده شده است. این بررسی نشان می‌دهد که بهترین مقدار برای پارامترهای T_0 , n , d و k به ترتیب مقادیر ۱۰۰۰۰۰، ۵۰۰، ۰/۹۴ و ۰/۱۰ است.



شکل ۹ نمودار تغییرات تعداد دفعات همگرایی شبکه عصبی به جواب مطلوب در اثر تغییر پارامتر T_0



شکل ۱۰ نمودار تغییرات تعداد دفعات همگرایی شبکه عصبی به جواب مطلوب در اثر تغییر پارامتر n

۳-۵ مشخصه‌های تفاضلی به دست آمده برای الگوریتم رمز سرپنت با شبکه بولتزمن
الگوریتم بهینه‌سازی تشریح شده در بخش قبل به منظور یافتن مشخصه‌های ۴، ۵ و ۶ دوری از الگوریتم رمز سرپنت به کار برده شد.

۲. مقداردهی اولیه نورون‌ها: مقدار نورون‌های متناظر با تفاضل دور میانی توسط تحلیلگر تعیین و مقدار سایر نورون‌ها با توجه به حالات ممکن در گراف نمایش عملکرد تفاضلی الگوریتم رمز سرپنت به طور دلخواه مشخص می‌شود.

۳. تکرار گامهای ۴ تا ۷ برای n مرتبه

۴. انتخاب یک نورون دلخواه و تغییر مقدار آن.

۵. تنظیم سایر نورون‌ها براساس تغییر جدید: این تنظیم با توجه به رابطه تبدیل خطی بین نورون‌های متناظر با خروجی توابع جانشینی در یک دور و نورون‌های متناظر با ورودی توابع جانشینی در دور بعد انجام می‌شود.

۶. محاسبه مقدار تابع هزینه با توجه به تغییر انجام شده.

۷. پذیرش وضعیت جدید، در صورتی که رابطه

$$\Pr < \frac{1}{1 + \exp\left(-\Delta E/T\right)}$$

تغییر مقدار تابع هزینه در صورت پذیرش مقدار جدید و \Pr عددی در فاصله صفر و یک است، که به طور تصادفی تولید می‌شود.

۸. تغییر دمای بهینه‌سازی با ضریب d :

۹. بررسی شرط توقف و تکرار از گام ۳ در صورت عدم برقراری آن. شرط توقف عبارت است از اینکه در سه دمای متواتی روند بهینه‌سازی، نسبت دفعات پذیرش تغییر مقدار نورون‌ها به کل دفعات بهنگام سازی شبکه در یک دما کمتر از k باشد.

۴-۲ بررسی پارامترها

در شبکه فوق پارامترهای T_0 , d , n و k پارامترهای کنترلی بهینه‌سازی هستند که باید به نحو مطلوبی تعیین شوند. در ادامه، ابتدا به ترتیب مقادیر ۱۰۰، ۱۰۰، ۰/۹ و ۰/۱۵ را برای این پارامترها در نظر گرفته و سپس با بررسی مقادیر مختلف برای هر یک از آنها، مقدار مطلوب برای آن پارامتر تعیین می‌شود. متناظر با هر دسته از مقادیر

جدول ۹ مشخصه تفاضلی چهار دوری از الگوریتم رمز سرپنت به دست آمده با ماشین بولتزمن (تابع جانشینی چهارم از دور سوم فعال است)

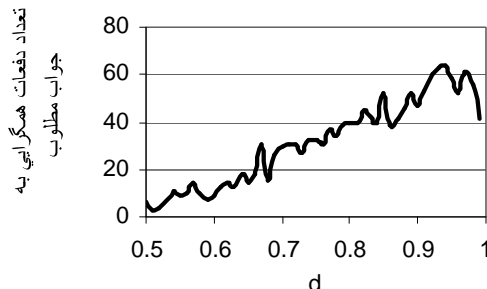
احتمال	شماره دور	تفاضل ورودی و خروجی توابع جانشینی در مشخصه یک دوری
۲-۱۱	۱	ورودی ۰۰D000000000000C60080090000000000
	۱	خروجی ۰020000000000001A00E0040000000000
۲-۵	۲	ورودی ۰000000000000000000000000000000004005000
	۲	خروجی ۰00000000000000000000000000000000A004000
۲-۳	۳	ورودی ۰000400000000000000000000000000000000000000
	۳	خروجی ۰000A00000000000000000000000000000000000000
۲-۱۰	۴	ورودی ۰0020004000000000000000000000000010000810
	۴	خروجی ۰006000300000000000000000000070000C70
۲-۲۹		احتمال کل مشخصه

جدول ۱۰ مشخصه تفاضلی چهار دوری از الگوریتم رمز سرپنت به دست آمده با ماشین بولتزمن (تابع جانشینی دوم از دور سوم فعال است)

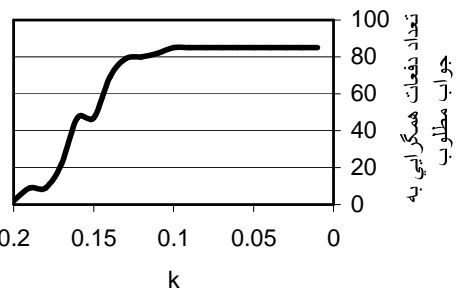
احتمال	شماره دور	تفاضل ورودی/خروجی توابع جانشینی در مشخصه یک دوری
۲-۱۱	۱	ورودی D000000000000F900700E0000000000
	۱	خروجی 2000000000001A00E004000000000000
۲-۵	۲	ورودی ۰0000000000000000000000000000000040050000
	۲	خروجی ۰00000000000000000000000000000000A0040000
۲-۳	۳	ورودی ۰0400
	۳	خروجی ۰0A00
۲-۱۰	۴	ورودی ۰200040000000000000000000000000001000081000
	۴	خروجی ۰6000300000000000000000000000070000C7000
۲-۲۹		احتمال کل مشخصه

مشخصه های ۵ دوری به دست آمده با ماشین بولتزمن مطابق جداول ۱۲ و ۱۳ و به ترتیب دارای احتمال 2^{-60} و 2^{-65} است. روند تغییرات مقدار تابع هزینه تا رسیدن به همگرایی در هر یک از این دو مشخصه به ترتیب در شکلهای ۱۶ و ۱۷ آورده شده است. در دو مورد فوق، از میان ۱۰۰ بار تکرار بهینه سازی به ترتیب ۴۳ و ۹۹ مرتبه، جواب مطلوب به دست آمده است.

مشخصه ۶ دوری به دست آمده با ماشین بولتزمن مطابق جدول ۱۴ است، که احتمال 2^{-94} دارد. روند تغییرات مقدار تابع هزینه تا رسیدن به همگرایی در مشخصه فوق در شکل ۱۸ آورده شده است. از میان ۱۰۰ تکرار بهینه سازی برای یافتن مشخصه فوق، ۳۰ مرتبه جواب



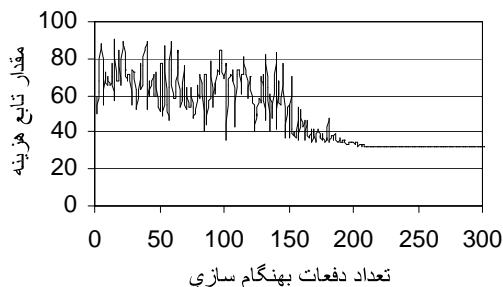
شکل ۱۱ نمودار تغییرات تعداد دفعات همگرایی شبکه عصبی به جواب مطلوب در اثر تغییر پارامتر d



شکل ۱۲ نمودار تغییرات تعداد دفعات همگرایی شبکه عصبی به جواب مطلوب در اثر تغییر پارامتر k

برای یافتن بهترین جواب، الگوریتم بهینه سازی ۱۰۰ مرتبه برای هر یک از موارد مورد بررسی تکرار و بهترین جواب انتخاب شد. به هدف امکان پذیری مقایسه کارایی ماشین بولتزمن با شبکه های پیشنهادی، مقدار تفاضل ورودی دور میانی و شماره و مقدار تابع جانشینی فعال در این دور - مانند آنچه در بخش ۲-۴ ذکر شد - بر اساس آنچه در تحلیلهای تفاضلی منتشر شده از الگوریتم رمز سرپنت در [۴۴-۴۲] است، تعیین شد.

سه مشخصه ۴ دوری به دست آمده با ماشین بولتزمن مطابق جداول ۹، ۱۰ و ۱۱ و به ترتیب دارای احتمال 2^{-29} و 2^{-32} است. روند تغییرات مقدار تابع هزینه تا رسیدن به همگرایی در هر یک از موارد فوق به ترتیب در شکلهای ۱۴، ۱۳ و ۱۵ آورده شده است. در هر یک از سه مورد فوق، تمامی ۱۰۰ بار تکرار بهینه سازی جواب مطلوب به دست آمده و در هیچ یک از تکرارها در بهینه محلی جا نمانده است.



شکل ۱۵ تغییرات مقدار تابع هزینه در روند بهینه‌سازی در مشخصه تفاضلی جدول ۱۱ تا رسیدن به همگرایی

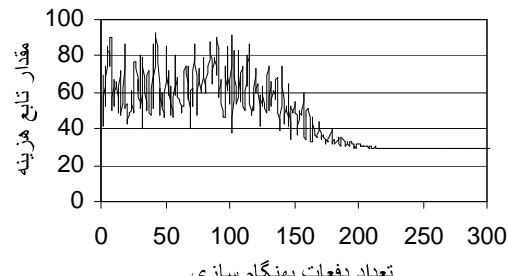
جدول ۱۲ مشخصه تفاضلی دورهای پنجم تا نهم از الگوریتم رمز سرپشت به دست آمده با مشین بولتزمن

احتمال	شماره دور	تفاضل ورودی و خروجی توابع جانشینی در مشخصه یک دوری
۲-۶	۵	ورودی ۰000070400900000800C00600C901B3
		خروجی ۰000030B00500000C00400200450618
۲-۱۴	۶	ورودی ۰400E000000000C00C0010090000000
		خروجی ۰A002000000001001000A004000000
۲-۵	۷	ورودی ۰000000000000000000000000000000001005
		خروجی ۰00000000000000000000000000000000A004
۲-۲	۸	ورودی ۰00000400000000000000000000000000000000
		خروجی ۰00000A00000000000000000000000000000000
۲-۱۳	۹	ورودی ۱0000200040000000000000000000000010008
		خروجی ۹0000500070000000000000000000000030000E
۲-۶۰		احتمال کل مشخصه

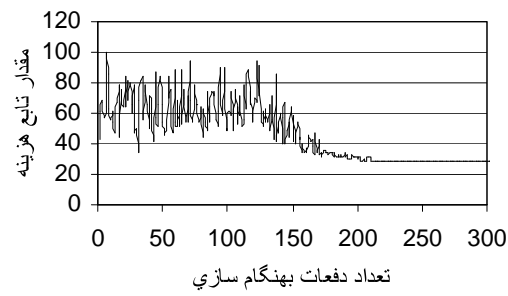
جدول ۱۳ مشخصه تفاضلی دوره‌های اول تا پنجم از الگوریتم $\text{D}\ddot{\text{M}}$ سر بنت به دست آمده با ماشین بو لتن است:

مطلوب به دست آمده است.

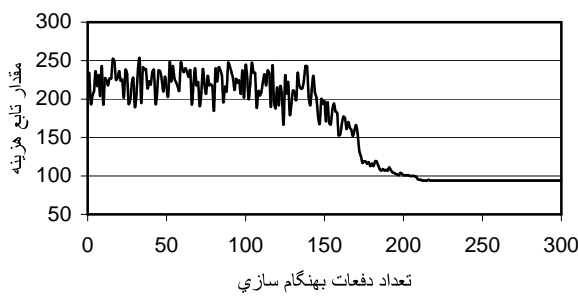
جدول ۱۱ مشخصه تفاضلی چهار دوری از الگوریتم رمز سرپینت به دست آمده با ماشین بولتزمن (تابع جانشینی ششم از دور هشتم فعال است)



شکل ۱۳ تغییرات مقدار تابع هزینه در روند بهینه‌سازی در مشخصه تقاضا_۰ جدول ۹ تا رسیدن به همگرایی



شکل ۱۴ تغییرات مقدار تابع هزینه در روند بهینه‌سازی در مشخصه تفاضلی جدول ۱۰ تا رسیدن به همگرایی



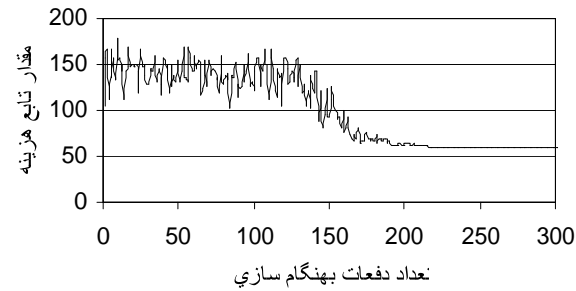
شکل ۱۸ تغییرات مقدار تابع هزینه در روند بهینه‌سازی مشخصه تفاضلی جدول ۱۴ تا رسیدن به همگرایی

این مشخصه مطابق جدول ۱۵ بوده و احتمال رخداد آن برابر 2^{-125} است. روند تغییرات مقدار تابع هزینه تا رسیدن به همگرایی در مشخصه فوق در شکل ۱۹ آورده شده است.

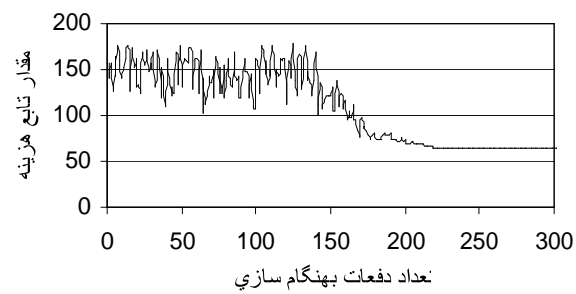
جدول ۱۵ مشخصه تفاضلی هفت دوری از الگوریتم رمز سرپنت به دست آمده با ماشین بولترمن

احتمال	تفاضل ورودی و خروجی توابع جانتینی در مشخصه یک دوری	شماره دور
۲-۲۴	0C30090090DDD0900DE040000000000E 01e00400402220400280600000000008	۱ ورودی خروجی
۲-۲۱	0400B000460A0005000000000000400A0 0a004000a2040008000000000000a0040	۲ ورودی خروجی
۲-۶	00000400A0000000000000000000000000000 00000a004000000000000000000000000000	۳ ورودی خروجی
۲-۲	0000000000000000400000000000000000000 0000000000000000300000000000000000000	۴ ورودی خروجی
۲-۱۷	02000000010000200400000000001100 0A000000030000B00500000000006A00	۵ ورودی خروجی
۲-۳۳	40070000200400000101008060043015 A0040000B0030000A0A00C0100A8074	۶ ورودی خروجی
۲-۲۲	0000055A009000090C00C10005260000 00000448005000050E00E30004C20000	۷ ورودی خروجی
۲-۱۲۵	احتمال کل مشخصه	

جدول ۱۶ میزان کارایی و کارامدی روند بهینه‌سازی با ماشین بولترمن را نشان می‌دهد. در تمام موارد با کمتر از ۳۰۰ تکرار در روند بهینه‌سازی، همگرایی حاصل می‌شود.



شکل ۱۶ تغییرات مقدار تابع هزینه در روند بهینه‌سازی در مشخصه تفاضلی جدول ۱۲ تا رسیدن به همگرایی



شکل ۱۷ تغییرات مقدار تابع هزینه در روند بهینه‌سازی در مشخصه تفاضلی جدول ۱۳ تا رسیدن به همگرایی

علاوه بر مشخصه‌های فوق یک مشخصه ۷ دوری با به کارگیری ماشین بولترمن برای الگوریتم رمز سرپنت به دست آمده است.

جدول ۱۴ مشخصه تفاضلی شش دوری از الگوریتم رمز سرپنت به دست آمده با ماشین بولترمن

احتمال	تفاضل ورودی و خروجی توابع جانتینی در مشخصه یک دوری	شماره دور
۲-۲۴	0C30090090DDD0900DE040000000000E 01e00400402220400280600000000008	۱ ورودی خروجی
۲-۲۱	0400B000460A0005000000000000400A0 0a004000a2040008000000000000a0040	۲ ورودی خروجی
۲-۶	00000400A0000000000000000000000000000 00000a004000000000000000000000000000	۳ ورودی خروجی
۲-۲	00000000000000004000000000000000000000 00000000000000003000000000000000000000	۴ ورودی خروجی
۲-۱۷	02000000010000200400000000001100 0A000000030000B00500000000006A00	۵ ورودی خروجی
۲-۳۳	40070000200400000101008060043015 A0040000B0030000A0A00C0100A8074	۶ ورودی خروجی
۲-۲۲	0000055A009000090C00C10005260000 00000448005000050E00E30004C20000	۷ ورودی خروجی
۲-۱۲۵	احتمال کل مشخصه	

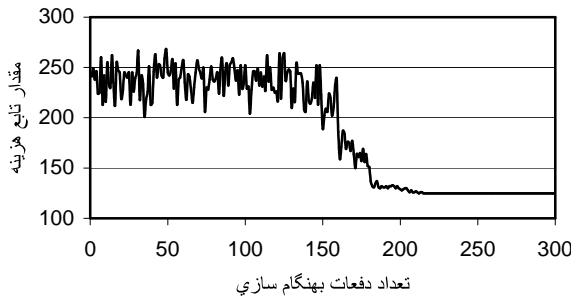
ماشین بولتزمون برای یافتن بهترین مسیر چند- شعبه در گراف نمایش عملکرد تفاضلی ارائه و ثانیا با اعمال آن بر روی الگوریتم رمز قطعه‌ای سرپنت به عنوان رمز نمونه، کارایی و کارامدی آنها بررسی شد.

جدول ۱۷ کارایی و کارامدی روند بهینه‌سازی توسط شبکه هاپفیلد و ماشین بولتزمون را در هر یک از موارد بررسی شده نشان می‌دهد. با توجه به اینکه اعداد گزارش شده در جدول ۱۶، تعداد تکرار بدنه اصلی روند بهینه‌سازی ماشین بولتزمون تا رسیدن به همگرایی (تعداد دفعات تغییر دما) است، برای آنکه میزان کارایی در دو شبکه قابل مقایسه باشد، باید اعداد گزارش شده در جدول ۱۶ در تعداد دفعات بهنگام‌سازی در هر دما (۵۰۰) ضرب شود. چنانچه ملاحظه می‌شود استفاده از ایده تابه‌کاری شبیه سازی شده، باعث افزایش کارامدی شبکه عصبی می‌شود، اما کارایی در ماشین بولتزمون کاهش می‌یابد، بهیان دیگر پیچیدگی اجرای روند بهینه سازی با ماشین بولتزمون بیشتر از هاپفیلد است.

جدول ۱۷ مقایسه کارایی و کارامدی شبکه هاپفیلد و ماشین بولتزمون در تعیین مشخصه‌های تفاضلی در الگوریتم رمز سرپنت

تعداد دفعات همگرایی	تعداد تکرار بهنگام سازی تا رسیدن به همگرایی	تعداد دور مشخصه		
			شبکه هاپفیلد	ماشین بولتزمون
۱۰۰	۱۰۰	۴	۱۰۸۵۰۰	۲۸
۱۰۰	۱۰۰		۱۰۶۵۰۰	۳۶
۱۰۰	۱۰۰		۱۰۴۵۰۰	۳۷
۴۳	۲۰		۱۰۸۰۰۰	۴۰۸
۹۹	۱۸	۵	۱۰۹۰۰۰	۹۲۲
۳۰	۱		۱۰۸۵۰۰	۲۰۲۵
۲۴	—	۷	۱۰۷۵۰۰	—

از طرفی در جدول ۱۸ مشخصه‌های به دست آمده با شیوه پیشنهادی در این مقاله با مشخصه‌های گزارش شده در مقالات دیگر، از نظر احتمال رخداد آنها مقایسه شده



شکل ۱۹ تغییرات مقدار تابع هزینه در روند بهینه‌سازی در مشخصه تفاضلی جدول ۱۵ تا رسیدن به همگرایی

چنانچه ملاحظه می‌شود علی‌رغم افزایش کارامدی روند بهینه‌سازی با به کارگیری ماشین بولتزمون نسبت به به کارگیری شبکه هاپفیلد، باز هم با افزایش تعداد دور مشخصه، کارایی شبکه عصبی کاهش می‌یابد.

جدول ۱۶ کارایی و کارامدی ماشین بولتزمون در تعیین مشخصه‌های تفاضلی در الگوریتم رمز سرپنت

تعداد دور	تعداد دفعات همگرایی تا رسیدن به همگرایی	تعداد تکرار بهنگام سازی تا رسیدن به همگرایی	شماره جدول
۴	۱۰۰	۲۱۷	۹
	۱۰۰	۲۱۳	۱۰
	۱۰۰	۲۰۹	۱۱
۵	۴۳	۲۱۶	۱۲
	۹۹	۲۱۸	۱۳
۶	۳۰	۲۱۷	۱۴
۷	۲۴	۲۱۵	۱۵

۶- جمع‌بندی و پیشنهادها

در این تحقیق برای یافتن مشخصه تفاضلی با حداقل احتمال در الگوریتم رمز قطعه‌ای، گراف نمایش عملکرد تفاضلی الگوریتم رمز قطعه‌ای به کار رفت. با این نمایش، یافتن مشخصه تفاضلی با حداقل احتمال با یافتن کم‌وزن‌ترین مسیر چند- شعبه بین دو گره آغازی و پایانی در گراف حاصل است. همانطور که ملاحظه شد در طی این مقاله به دو سؤال مطرح شده در ابتدای مقاله پاسخ داده شد. اولاً نحوه به کارگیری شبکه‌های عصبی هاپفیلد و

۳- می‌توان شیوه‌های مختلف بهینه‌سازی هوشمند مانند الگوریتم‌های ژنتیک، اجتماع مورچگان، شبکه‌های عصبی و مانند آن را در یافتن مسیر چند-شعبه مناسب در گراف نمایش عملکرد تفاضلی الگوریتم رمز قطعه‌ای به کار برد و عملکرد آنها را از نظر کارایی و کارامدی مقایسه کرد.

۷- منابع

- [۱] ع. قائمی بافقی، ب. صادقیان، "یک مدل بازنمایی عملکرد تفاضلی الگوریتم‌های رمز قطعه‌ای با ساختار جانشینی- جایگشتی"، نشریه علمی امیرکبیر، شماره آ-۵۸۳، ۱۳۸۳.
- [۲] ع. قائمی بافقی، "تحلیل تفاضلی الگوریتم رمز قطعه‌ای سرپنت"، هفتمین کنفرانس سالانه انجمن کامپیوترا بران، ۱۳۸۰.
- [۳] E.Biham and A.Shamir, "Differential Cryptanalysis of DES-like Cryptosystems", *Advances in Cryptology-CRYPTO '90*, pp. 2-21, 1990
- [۴] A.Ghaemi Bafghi, B.Sadeghiyan, "Differential Model of Block Ciphers with Ant Colony Technique", *IST2003-2nd Biannual International Symposium on Telecommunication*, Iran, 2003.
- [۵] A.Ghaemi Bafghi, B. Sadeghiyan, "Finding Suitable Differential Characteristics for Block Ciphers with Ant Colony Technique", *9th IEEE Symposium on Computers and Communications*, 2004.
- [۶] R.Anderson, E.Biham, and L.Knudsen, "Serpent : A Proposal for the Advanced Encryption Standard", *NIST Proposal*, 1998.
- [۷] K. Urahama and H. Nishiyuki, "Neural Algorithms for Placement Problems", *International Joint Conference on Neural Networks* 3, Nagoya, 2421–2424, 1993.

است. این مقایسه نشان می‌دهد که در شش دور، نتایج ارائه شده در این مقاله بهتر از نتایج گزارش شده در سایر مقالات است و در دو مورد، احتمال مشخصه تفاضلی به دست آمده برابر با احتمال مشخصه‌های نظیر در مقالات دیگر است. همچنین با صرفنظر از مشخصه‌های بومرنگ گزارش شده از الگوریتم رمز سرپنت، مشخصه تفاضلی ۷ دوری با احتمال تفاضلی برای بیش از ۶ دور از این الگوریتم رمز مشخصه تفاضلی به دست آمده در این مقاله با مقایسه با مشخصه‌های منتشر شده در مقالات دیگر، نشان دهنده کارایی شیوه پیشنهادی در این مقاله برای یافتن مشخصه تفاضلی مناسب است.

جدول ۱۸ مقایسه مشخصه‌های تفاضلی به دست آمده از الگوریتم رمز سرپنت در این مقاله و دیگر مقالات منتشر شده

تعداد دور مشخصه	احتمال مشخصه به دست آمده در این مقاله	احتمال مشخصه به دست آمده در مقاله‌های دیگر
۴	2^{-29}	$[42] 2^{-31}$
	2^{-22}	$[44] 2^{-34}$
	2^{-29}	$[42] 2^{-39}$
۵	2^{-65}	$[44] 2^{-57}, [43] 2^{-80}$
	2^{-60}	$[42] 2^{-60}, [44] 2^{-61}$
۶	2^{-94}	$[44] 2^{-97}$
۷	2^{-125}	---

پژوهش گزارش شده در این مقاله را از جنبه‌های مختلفی می‌توان ادامه داد که در زیر چند نمونه ذکر می‌شود:

- ۱- در این تحقیق مقادیر مناسب برای پارامترهای شبکه عصبی با انجام آزمایش‌های مختلف تعیین شده است. با توسعه شبکه عصبی می‌توان بهترین مقادیر این پارامترها را در طی روند بهینه‌سازی به دست آورد.
- ۲- شیوه این تحقیق را برای یافتن مشخصه‌های مطلوب برای الگوریتم‌های رمز قطعه‌ای دیگر به کار برد.

- Convergence to Valid Solutions”, *Proceedings International Conference on Neural Networks 7*, 1994.
- [17] N. Fynabiki and Y. Takefuji, “A Neural Network Parallel Algorithm for Channel Assignment Problems in Cellular Radio Networks”, *IEEE Transactions on Vehicular Technology 41*, 430-437, 1992.
- [18] Y. Takifuji and K. C. Lee, “Artificial Neural Networks for Four-Coloring Map Problems and K-Colorability Problems”, *IEEE Transactions on Circuits and Systems 38*, 326–333, 1991.
- [19] K. Smith and M. Palaniswami, “Static and Dynamic Channel Assignment Using Neural Networks”, *IEEE Journal on Selected Areas in Communications 15*, 238–249, 1997.
- [20] D. D. Caviglia, G. M. Bisio, F. Curatelli, L. Giovannacci and L. Raffo, “Neural Algorithms for Cell Placement in VLSI Design”, *IEEE International Joint Conference on Neural Networks 1*, 573–580, 1989.
- [21] F. Arajo, B. Ribeiro, L. Rodrigues, “A Neural Network for Shortest Path Computation”, *IEEE Transactions on Neural Networks*, 12(5) ,2001.
- [22] S. G. Hong, S. W. Kim, and J. J. Lee, “The Minimum Cost Path Finding Algorithm Using a Hopfield Type Neural Network”, *Proceedings IEEE International Conference on Fuzzy Systems 4*, 1719–1726, 1995.
- [23] T. Haines, H.V. Medanic , “A neural Network Shortest Path Algorithm”, *IEEE International Semposium on Intelligent Control* ,1994.
- [24] J. Wang, “A Recurrent Neural Network for Solving the Shortest Path Problem”, *IEEE International Symposium Circuits and Systems 6*, 319–322, 1994.
- [8] H. Date, M. Seki, and T. Hayashi, “LSI Module Placement Using Neural Computation Networks”, *International Joint Conference on Neural Networks 3*, San Diego, 831–836, 1990.
- [9] G. A. Taglari and E. W. Page, “Solving Constraint Satisfaction Problems with Neural Networks”, *IEEE International Conference on Neural Networks 3*, 741–747, 1987.
- [10] B. Kamgar-Parsi, J. A. Gualtieri, and J. E. Devaney, “Clustering with Neural Networks”, *Biological Cybernetics 63*, 201–208, 1990.
- [11] G. P. Babu and M. N. Murty, “Connectionist Approach for Clustering”, *International Conference on Neural Networks 7*, 4661–4666, 1994.
- [12] S. K. Chen, P. Mangimeli, and D. West, “The Comparative Ability of Self-Organizing Neural Networks to Define Cluster Structure”, *Omega 23*, 271–279, 1995.
- [13] A. Barami and C. Dagli, “Hybrid Intelligent Packing System (HIPS) Through Integration of Artificial Neural Networks”, *Artificial Intelligence and Mathematical Programming, Applied Intelligence 4*, 321–336.
- [14] Dai, J. Cha, W. Guo, and F. Wang, “A Heuristic-Based Neural Network for Packing Problems”, *International Conference on Data and Knowledge Systems for Manufacturing and Engineering 2*, 698–703, 1994.
- [15] T. Hameenanttila and J. D. Carothers, “A Hopfield Neural Network Solution to the TCM Partitioning Problem”, *IEEE International Conference on Neural Networks 7*, 4676–4680, 1994.
- [16] M. O. Berger, “k-Coloring Vertices Using a Neural Network with

- [33] J.Hopfield and D.W.Tank, "Neural: Computation of Decisions in Optimization Problems", *Biological Cybernetics* 52, 141–152, 1985.
- [34] Y. B. Cho, T. Kurokawa, Y. Takefuji, and H. S. Kim, "An O(1) Approximate Parallel Algorithm for the n-Task n-Person Assignment Problem", *International Joint Conference on Neural Networks* 2, Nagoya, 1503–1506, 1993.
- [35] D. Gong, M. Gen, G. Yamazaki, and W. Xu, "Neural Network Approach for General Assignment Problem", *International Conference on Neural Networks* 4, Perth, 1861–1866, 1995.
- [36] T. Kurokawa and S. Kozuka, "Use of Neural Networks for the Optimum Frequency Assignment Problem", *Electronics and Communications in Japan*, Part 1, 77, 106–116, 1994.
- [37] Y. Lin, L. M. Austin, and J. R. Burns, "An Intelligent Algorithm for Mixed-Integer Programming Models", *Computers and Operations Research* 19, 461–468, 1992.
- [38] C. Parnavalai, G. Chakraborty, and N. Shiratori, "Neural Networks for Solving Constrained Steiner Tree Problem", *IEEE International Conference on Neural Networks* 4, 1867–1870, 1995.
- [39] J. Ramanujam and P. Sadayappan, "Mapping Combinatorial Optimization Problems onto Neural Networks", *Information Sciences* 82, 239–255, 1995.
- [40] E. Wacholder, J. Han, and R. C. Mann, "An Extension of the Hopfield-Tank Model for Solution of the Multiple TSP", *IEEE International Conference on Neural Networks* 2, 305–325, 1991.
- [41] A. Yamamoto, M. Ohta, H. Ueda, A. Ogihara, and K. Fukunaga, "Asymmetric Neural Network and its Application to
- [25] Y. Xia, J. Wang, "A Discrete-Time Recurrent Neural Network for Shortest-Path Routing", *IEEE Transactions on Automatic Control*, 45(11), 2000.
- [26] F. Zhang, X. Yin, "A Simulated Annealing Neural Network and Lanczos Inverse Approach for Impedance Inversion", University of Petroleum, China, 1998 SEG Expanded Abstracts
- [27] L.I. Burke, "Adaptive Neural Networks for the Traveling Salesman Problem: Insights from Operations Research", *Neural Networks* 7, 681–690, 1994.
- [28] R. D. Brandt, Y. Wang, A. J. Laub, and S. K. Mitra, "Alternative Networks for Solving the Travelling Salesman Problem and the List-Matching Problem", *International Conference on Neural Networks* 2, 333–340, 1988.
- [29] A.H.Gee and R. W. Prager, "Limitations of Neural Networks for Solving Traveling Salesman Problems", *IEEE Transactions on Neural Networks* 6, 280–282, 1995.
- [30] W. Lin, J. G. Delgado-Frias, G. G. Pechanek, and S. Vassilladis, "Impact of Energy Function on a Neural Network Model for Optimization Problems", *Proceedings IEEE International Conference on Neural Networks* 7, 4518–4523, 1994.
- [31] R. Van Vliet and H. Cardon, "Combining a Graph Partitioning and a TSP Neural Network to Solve the MTSP", in *Artificial Neural Networks* 2, T. Kohonen, K. Makisara, O. Simula, and J. Kangas (eds.), North Holland, Amsterdam, 157–162, 1991.
- [32] J.Hopfield, "Neural Networks and Physical Systems with Emergent Collective Computational Abilities", *Proceedings of National Academy of Sciences* 79, 2554–2558, 1982.

- Optimization with Gaussian Machines”, *IEEE International Joint Conference on Neural Networks 1*, 533–540, 1989.
- [49] T. Bultan and C. Aykanat, “Circuit Partitioning Using Parallel Mean Field Annealing Algorithms”, *3rd IEEE Symposium on Parallel and Distributed Processing*, 534–541, 1991.
- [50] M. K. Unaltuna and V. Pitchumani, “Unsupervised Competitive Learning Neural Network Algorithms for Circuit Bipartitioning”, *World Congress on Neural Networks 1*, San Diego, 302–307, 1994.
- [51] S. Vaithyanathan, H. Ogmen, and J. Ignizio, “Generalized Boltzmann Machines for Multidimensional Knapsack Problems”, *Intelligent Engineering Systems Through Artificial Neural Networks 4*, ASME Press, New York, 1079–1084, 1994.
- [52] V. Zissimopolous, V. Paschos, and F. Pekergin, “On the Approximation of NP-Complete Problems by Using the Boltzmann Machine Method: The Case of Some Covering and Packing Problems”, *IEEE Transactions on Computers 40*, 1413–1418, 1991.
- Knapsack Problem”, *IEICE Transactions Fundamentals E78-A*, 300–305, 1995.
- [42] E.Biham, O.Dunkelman, and N.Keller, “The Rectangle Attack-Rectangeling the Serpent”, *Lecture Notes in Computer Science*, 2001.
- [43] T.Kohono, J.Kelsey, and B.Schneier, “Preliminary Cryptanalysis of Reduced-Round Serpent”, *Third AES Candidate Conference*, 2000.
- [44] X. Y. Wang, and et.al. “The Differential Cryptanalysis of an AES Finalist-Serpent”, Technical Report TR-2000-04, 2000.
- [45] D. H. Ackley, G. E. Hinton, and T. J. Sejnowski, “A Learning Algorithm for Boltzmann Machines”, *Cognitive Science 9*, 147–169, 1985.
- [46] H. Jeong and J. H. Park, “Lower Bounds of Annealing Schedule for Boltzmann and Cauchy Machines”, *IEEE International Joint Conference on Neural Networks 1*, 581–586, 1989.
- [47] Y. Takefuji and H. Szu, “Design of Parallel Distributed Cauchy Machines”, *IEEE International Joint Conference on Neural Networks 1*, 529–532, 1989.
- [48] Y. Akiyama, A. Yamashita, M. Kajiwara, and H. Aiso, “Combinatorial